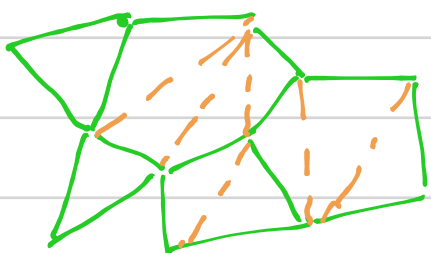


Monocouches épithéliales : Modèles de tissus

Dans le cours Durand, nous étudions les tissus épithéliaux et plus précisément les monocouches épithéliales. La figure montre une telle monocouche sur la surface apicale.

En suivant les idées de D'Arcy Thompson, on peut considérer cette image comme celle d'un pavage de polygones à 2 dimensions. Mathématiquement nous décrirons ce réseau comme un graphe formé de F polygones de V vertex et de E arêtes. Au cours du développement du tissu, la structure du tissu évolue et il y a un remodellage du graphe.



$$F = 5 \quad V = 12 \quad E = 16$$

Euler a montré une relation topologique entre E , F et V : $F + V - E = 1$. La démonstration est extrêmement simple. Si on rajoute une ligne pour faire un triangle supplémentaire on ne change pas $F + V - E$ on ajoute 1 polygone et 1 arête. On peut ainsi transformer le pavage en pavage de triangles. En enlevant 1 triangle au bord $F + V - E$ se change pas. On se rendra aussi à 1 triangle en éliminant tous les autres et on trouve que $E + F - V = 1$.

Dans un tissu épithelial on n'observe que des vertex à 3 branches ce qui veut dire que les vertex à plus de branches doivent être instables



on Le nombre d'arêtes est alors relié au nombre de vertex par $3V = 2E$. le nombre moyen de côtés par polygone est $\frac{2E}{F} = \langle n \rangle = \frac{3V}{F}$ (puisque chaque arête appartient à 2 polygones).

$$1 + \frac{V}{F} - \frac{E}{F} = \frac{1}{F} \quad \langle n \rangle \left(\frac{1}{3} - \frac{1}{2} \right) + 1 = \frac{1}{F}. \text{ Si } \frac{1}{F} \rightarrow 0 \text{ et } \langle n \rangle = 6. \text{ le polygone moyen est un}$$

hexagone et si il y a des polygones de moins de 6 côtés, il y a forcément des polygones de plus de 6 côtés.

Pq, Ces modèles de vertex ont été étudiés en détails par les physiciens pour l'étude des mouvements à 2 dimensions. D'autres relations que la moyenne du nombre de côtés ont été proposées. Je renvoie au livre de D. Weaire "The physics of foams".

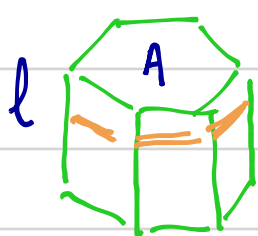
La description des tissus en termes de vertex n'est en principe pas suffisante. La meilleure description est de décrire chaque cellule comme un polyèdre de hauteur h et d'aire A soit de volume $V = Ah$. Nous ne considérons ici que la projection sur la face adjacente du polyèdre et nous ignorons la hauteur de la cellule h et nous allons inférer les propriétés du tissu à partir de l'équilibre des forces dans le plan. Nous ferons ensuite une description à 3 dimensions qui nous permettra de discuter la validité de ce modèle de Vertex à 2 dimensions.

Ces modèles de vertex à 2 dimensions ont été proposés par F. Graser et J. Glazier.

I- Modèle de vertex

Nous décrirons le tissu par le pavage de vertex de la surface adjacente. Chaque cellule a un indice α et chaque arête a un indice i .

Il est alors bien établi que l'écoulement des cellules est dominé par la couche d'actine corticale. La surface entre les cellules a une tension de surface qui a deux composantes, l'adhésion entre cellules (négative) et la tension de la couche corticale due à la contractilité de la couche d'actine induite par les myosines (positive). Il en est de même de la surface basale qui adhère sur la membrane basale.



Dans un épithélium, il existe aussi une ceinture d'actine qui est un cercle sous tension au voisinage de la surface adjacente avec une tension $\frac{\Lambda}{2}$.

Pour écrire l'équilibre des forces dans le réseau de vertex, nous

écrivons une énergie effective (un travail virtuel) telle que la minimisant cette énergie par rapport à la position de chaque vertex, on obtient l'équilibre des forces sur chaque vertex. Il n'y a pas à proprement parler d'Énergie libre car chaque cellule consomme de l'énergie et n'est pas à l'équilibre thermodynamique

$$E = \sum_{\alpha} \frac{1}{2} K_{\alpha} (A_{\alpha} - A_{\alpha}^{\circ})^2 + \sum_i \Lambda_i l_i + \sum_{\alpha} \frac{1}{2} \Gamma_{\alpha} P_{\alpha}^2$$

Le premier terme suppose qu'il y a une aire préférée par chaque cellule A_{α}° . K_{α} est une élasticité de surface qui tend à ramener l'aire A_{α} vers l'aire préférée A_{α}° . Ce terme est associé à la tension de la surface apolaire.

Λ_i est la tension de l'arête i (deux fois la tension de chaque cellule : celle d'acte + surface latérale). Le dernier terme prend en compte la variation de la tension avec la forme de la cellule (ici avec son périmètre P_{α})

Rq La tension effective de chaque arête n'est pas la même à cause de ce dernier terme et les angles à chaque vertex ne sont pas égaux à $\frac{2\pi}{3}$, ce qui est le cas dans une mousse où la tension des films de savon est constante.

Nous supposons dans la suite que le tessu est homogène soit que K_{α} , A_{α}° , Λ_i et Γ_{α} ne dépendent pas de α et de i . Nous réécrivons l'énergie comme la somme des énergies sur toutes les cellules

$$E = \sum_{\alpha} \frac{1}{2} K (A_{\alpha} - A_0)^2 + \frac{1}{2} \Lambda P_{\alpha} + \frac{1}{2} \Gamma P_{\alpha}^2$$

Pour travailler avec des variables sans dimension, on choisit $\sqrt{A_0}$ comme unité de longueur $A = A_0 \alpha$, $P = \sqrt{A_0} p$ et on pose $\bar{\Lambda} = \frac{\Lambda}{KA_0^{3/2}}$, $\bar{\Gamma} = \frac{\Gamma}{AK}$
 $p_0 = -\frac{\bar{\Lambda}}{2\bar{\Gamma}}$ et $e_0 = -\frac{\bar{\Lambda}^2}{8\bar{\Gamma}}$

$$\text{L'énergie sans dimension est } \bar{E} = \frac{E}{KA_0^2} = \sum_{\alpha} \left\{ \frac{(A_{\alpha} - 1)^2}{2} + \frac{\bar{\Lambda}}{2} (p_{\alpha} - p_0)^2 + e_0 \right\}$$

Il y a donc 3 variables sans dimension $\bar{\Gamma}$, p_0 et e_0 . Nous commençons par discuter la minimisation de l'énergie d'une cellule isolée

1. Cellule isolée

On considère une cellule isolée de forme dominée de n cotés. On peut alors raisonner qu'un paramètre qui est un facteur d'échelle sur la longueur d'un côté. L'énergie e de la cellule est $e = \frac{1}{2}(\alpha - 1)^2 + \frac{\Gamma}{2}(\mu - \mu_0)^2 + e_0$

En la dilatant d'un facteur α , l'énergie devient

$$e(\alpha) = \frac{1}{2}(\alpha^2 - 1)^2 + \frac{\Gamma}{2}(\alpha\mu - \mu_0)^2 + e_0$$

L'énergie de la cellule non-dilatée est minimale ($\alpha=1$) si $\frac{\partial e}{\partial \alpha}|_{\alpha=1} = 0$
Soit $\alpha(\alpha-1) + \frac{\Gamma}{2}\mu(\mu-\mu_0) = 0$. Il y a 4 cas possibles

- $\alpha = 1, \mu = \mu_0$: c'est un minimum absolu de l'énergie $e = e_0$

- $\alpha > 1, \mu < \mu_0$: on peut vérifier que une telle cellule est instable parce que $\frac{\partial e}{\partial \mu}|_{\alpha} \leq 0$ et on pouvait diminuer l'énergie en augmentant le paramètre μ à aire donnée

- $\alpha < 1, \mu > \mu_0$

- $\alpha = 1, \mu = 0$ Soit une cellule effondrée. Son énergie est $e_c = e_0 + \frac{\Gamma}{2}\mu_0^2 + \frac{1}{2}$

Soit $e_c = \frac{1}{2}$.

Le cas $\alpha = 1, \mu = \mu_0$ donne un minimum absolu de l'énergie mais il n'est pas accessible pour toutes les valeurs du paramètre μ_0 . Pour un angle $\alpha = 1$, il y a un paramètre minimal $\mu_0 > (\ln \operatorname{tg} \frac{\pi}{m})^{1/2}$ pour polygone régulier de n cotés. Les polygones de n cotés peuvent donner un minimum de l'énergie si $\mu_0 = -\frac{\bar{\lambda}}{2\Gamma} \geq (\ln \operatorname{tg} \frac{\pi}{m})^{1/2}$ soit $\bar{\lambda} \leq -4\Gamma (\ln \operatorname{tg} \frac{\pi}{m})^{1/2}$.

On définit aussi des seuils $\bar{\lambda}_3 < \bar{\lambda}_4 < \bar{\lambda}_5 < \bar{\lambda}_6 = -\Gamma 2^{5/2} 3^{1/4} < -4\Gamma$ tels que si $\bar{\lambda} > \bar{\lambda}_6$ seuls des polygones de plus de n cotés (strictement) sont au minimum de l'énergie. Si $\bar{\lambda} > \bar{\lambda}_5$, le minimum est atteint par des hexagones (et réguliers) et des polygones de plus de 6 cotés.

Le cas $\alpha < 1, \mu > \mu_0$ conduit à des polygones réguliers car à aire donnée on abaisse l'énergie en diminuant le paramètre.

Pour un polygone régulier de minimisation de l'énergie

$$\alpha = \mu^2 \frac{\cot \pi/n}{4n} = \frac{\pi^2}{4n}. La condition$$

$4C_n^2 p^3 + (\bar{\Gamma} - 2C_n) 2p + \bar{\Lambda} = 0$. Si $\Lambda = \bar{\Lambda}_G = -2^{5/2} 3^{1/4} \bar{\Gamma}$ cette relation est vérifiée. $C_6 = \frac{1}{8\sqrt{3}}$, $p = 3^{1/4} 2^{3/2}$ si $a=1$. Si $\bar{\Lambda} > \bar{\Lambda}_G$ pour $\bar{\Gamma}$ fixé l'aire des hexagones et le périmètre décroissent avec $\bar{\Lambda}$.

Au delà de cette ligne $\bar{\Lambda} = \bar{\Lambda}_G$ ne peuvent être stables dans l'état fondamental de l'énergie que des polygones qui ont au moins plus de 6 côtés. Il peut aussi y avoir des cellules effondrées (tissu instable) et aussi des hexagones d'aire plus petite que 1! Ils sont stables localement si leur énergie est $e_E = \frac{(a-1)^2}{2} + \frac{\bar{\Gamma}}{2} (h - p_0)^2 + e_0 = \frac{(C_n p^2 - 1)^2}{2} + \frac{\bar{\Gamma}}{2} (h - p_0)^2 + e_0 \leq \frac{1}{2}$

Cette condition et la condition d'équilibre fixent les 2 quantités p_0 ou $\bar{\Lambda}$ et p_c , pour que les hexagones soient stables. Il y a deux cas

- Si $\bar{\Gamma} > \bar{\Gamma}_c$, à la transition vers une cellule effondrée: $p = \bar{\Lambda} = 0$
- Si $\bar{\Gamma} \leq \bar{\Gamma}_c$, à la transition $p = \frac{3}{C_n} (\bar{\Gamma}_c - \bar{\Gamma})^{1/2}$ et $\bar{\Lambda}_c = \frac{h}{C_n} \left(\bar{\Gamma}_c - \frac{\bar{\Gamma}}{3} \right)^{3/2}$

2. Etat fondamental du tissu.

Si $\Lambda \leq \bar{\Lambda}_G$ tout arrangement de polygones de 3 côtés et plus tel que $a=1$ et $p=p_0$ donne un état minimum absolu de l'énergie. Si $\Lambda > \bar{\Lambda}_G$ il ne peut plus y avoir de triangles ... etc. L'état fondamental est nécessairement dégénéré et le tissu a beaucoup de modes de déformations qui ne contiennent aucune énergie de déformation. Au delà de $\bar{\Lambda} > \bar{\Lambda}_G$, ne peuvent être dans l'état fondamental dans le tissu que des polygones de plus de 6 côtés ($n > 6$). Mais cela ne permet pas d'avoir $\langle n \rangle = 6$. Le tissu n'est pas dans l'état d'énergie minimale $\bar{E} = N \bar{\Lambda} C_0$. Un minimum de l'énergie est la structure périodique d'hexagones réguliers avec $a < 1$ et $p > p_0$. Mais il faut vérifier que c'est bien l'état fondamental. L'article de D. Stipek et al. montre numériquement que c'est vrai presque partout dans la zone où le tissu ne s'effondre pas. Il trouve deux types régulier avec des arrangements périodiques de 2 types différents de cellules. Et une limite de stabilité R_0 . Ces phénomènes ne sont possibles que parce que la tension dépend du périmètre qui s'ajuste pour équilibrer les forces. (1)

Pour l'arrangement périodique d'hexagones réguliers, on peut calculer les modules de compression et de cisaillement. Pour le module de cisaillement, on déforme les longueurs dans la direction d'un facteur $(1+\gamma)$ et dans la direction y d'un facteur $\frac{1}{1+\gamma}$. Le module de cisaillement μ est obtenu en calculant la dérivée seconde γ de l'énergie par rapport à γ . Le module μ s'annule si $\gamma = \gamma_0$ soit $\bar{\Lambda} = \bar{\Lambda}_0$. Si $\bar{\Lambda} \leq \bar{\Lambda}_0$, le solide devient instable.

Le module de compression γ est obtenu de la même manière en dilatant les longueurs d'un facteur $1+\epsilon$. Il est fini. Il s'annule au-delà de la ligne verte de la figure au-delà de laquelle les hexagones réguliers sont instables.

II - Transformations topologiques

1 - Evolution du tissu

En général un tissu ne se trouve pas dans son état fondamental à cause de phénomènes actifs (qui consomment de l'énergie qui se renouvelle en permanence). Il y a 3 types de transformations qui changent la topologie du "réseau de vertex": les processus T_1 qui échangent les voisins de cellules, les processus T_2 qui correspondent à l'extinction ou à la mort cellulaire et la division cellulaire.

The diagram shows three types of transformations on a triangular lattice.
 1. T_1 : A central edge is flipped between two vertices, changing the local topology.
 2. T_2 : A vertex is shown with all its edges removed, representing cell death or inactivation.
 3. T_3 : A central vertex is shown with four new edges extending from it, representing cell division.

Après chaque événement correspondant à l'un de ces processus, le tissu relaxe vers un équilibre mécanique local dans un état désordonné mais dans lequel les forces sont équilibrées. Dans toute la suite on étudie un tissu en croissance, le processus actif est la division.

Rq les modèles de vertex fait en général des transformations quasi statiques et relaxent vers un minimum local de l'énergie après chaque division cellulaire. Ils ne décrivent pas la dynamique du tissu.

- T_1 : Les vertex à 4 branches sont instables. Cela est observé numériquement mais à ma connaissance, il n'y a pas de preuve formelle. Les processus T_1 permettent d'allonger le tissu. C'est ce qui se produit pour la "grossière elongation" de la drosoïde (TLecuit).

The diagram shows a vertex with four green edges. One edge is highlighted in orange. After the transformation, the vertex has only three green edges, representing a relaxation to a lower energy state.

- T_2 : Un système modèle pour étudier les processus T_2 dans un état ordonné est la phase 3.12. Si on a les paramètres les cellules triangulaires sont stables ou instables (D. Stoye)



- Division cellulaire : avant la division l'aire de la cellule croît jusqu'à ce que l'aire de référence passe de A_0 à $2A_0$. La cellule est ensuite divisée en 2 de manière aléatoire par une "ligne" qui passe par le centre entre chacune des 2 nouvelles cellules reliées. On peut vérifier numériquement que la procédure simplifiée qui consiste à diviser la cellule en 2 puis à donner à chaque cellule une aire A_0 est équivalente. Après chaque division le système tend vers un minimum local de l'énergie (par des transitions $\frac{T_1}{T_2}$ et $\frac{T_2}{T_1}$)³⁾

2 - Exemples d'application des modèles de vortex

- Détermination des paramètres du modèle de monte pour le disque imaginaire de la drosophile.

L'idée est de comparer la fonction des paramètres, les projets de faire des cellules et du tissu à ceux de l'expérience. Les quantités mesurées sont la probabilité qu'une cellule ait n voisins et l'aire moyenne d'une cellule à n voisins. D'autres projets comme la périodicité des cellules à n voisins ou les écarts types ont aussi été mesurés. On fait aussi bien. R. Farhadifar a aussi simulé des expériences d'ablation laser où il coupe une jonction entre deux cellules. Toutes ces expériences sont comparées aux valeurs équivalentes pour le disque imaginaire de la drosophile. La comparaison permet de restreindre les valeurs des paramètres $\bar{\lambda}$ et $\bar{\Gamma}$ sans dimension dans un tout petit domaine comme indiqué sur la figure.

- Frontière entre les compartiments antérieur et postérieur lors du développement de l'aile de la drosophile C. Dahman

Pendant le développement de l'aile de la drosophile il se forme deux compartiments (antérieur et postérieur). Les cellules A et P dans ces compa-

témoin expriment des gènes différents et la frontière entre ces deux compartiments qui est "d'organisation" est très définie. Pour la suite du développement, il est important qu'elle reste très droite. Les propriétés des cellules au voisinage de la frontière sont les plus différentes avec celles aux apices plus grands.

L'angle entre des liaisons successives est plus grand que l'air interface. Des mesures de tensions faites par attache laser montrent que la tension des jonctions A-P à l'interface est plus grande que celles des jonctions A-A ou P-P loin de l'interface.

Une simulation du modèle de Verzée portant sur deux types apposés l'un contre l'autre avec des rapports de tension 1, 2,5 et 4 montre que le seul paramètre de tension avec un rapport 2,5 permet d'expliquer les propriétés de l'interface. Cela est dû à une accumulation de nœuds pour les cellules de l'interface A-P. (2)

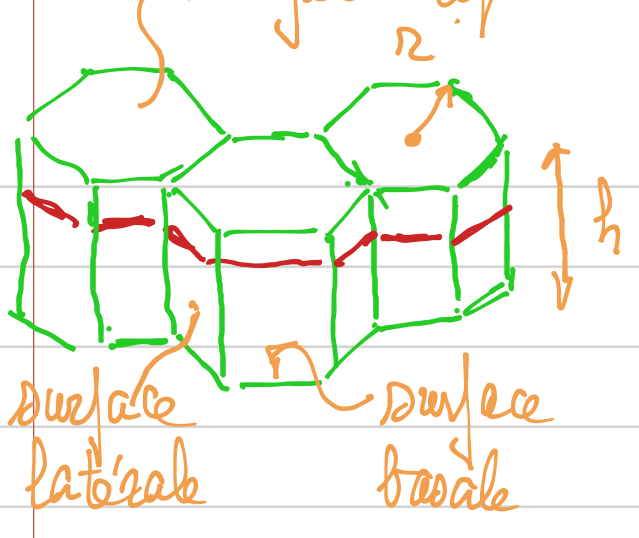
Régulation de la croissance par la contrainte. Aegean-Willemsen et al. ont mesuré d'autres propriétés des cellules du voisinage immédiat de l'aire : le nombre de jonctions d'une cellule mitotique et les corrélations entre les dernières le "clustering" des cellules mitotiques. Pour expliquer les résultats ils doivent modifier le modèle de Verzée en considérant que le taux de division d'une cellule dépend de ses propriétés mécaniques (de l'écart à l'aire moyenne). Ils introduisent donc une régulation mécanique de la croissance.

III Modèle de Verzée à 3 dimensions

1. Monocouches épithéliales planes E. Hammege

Nous voulons dans ce chapitre faire un modèle plus réaliste que le modèle de Verzée à 2 dimensions qui ne prend en compte que la surface apicale des cellules en prenant en compte tout le volume de la cellule. Pour simplifier, nous considérons une couche de cellules toutes identiques dont la surface apicale est un hexagone régulier

Surface apicale



les surfaces latérales et basses proposées sur le plan de l'épithélium sont égales
 $A = \frac{\pi r^2}{2} 3^{3/2}$. Si la hauteur est h
la surface latérale est $A_L = 6\pi r h$

Rq : La surface basale est en général plane car elle reposent sur une membrane basale rigide. La surface apicale peut ne pas être plane et être plus grande que A $A_a \geq A$.

Le volume de la cellule est $V = A h + \Delta V = \frac{3}{2} \pi r^2 h + \Delta V$ où ΔV est dû au fait que la surface apicale n'est pas plane

Comme pour le modèle à 1 dimension nous allons équilibrer les forces sur une cellule en minimisant l'énergie effective qui est dominée par les tensions des interfaces

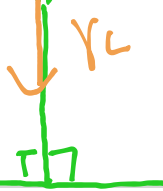
$$E = \gamma_L A_L + \gamma_B A + \gamma_A A_a + \Lambda P + \frac{K}{2} \left(\frac{V - V_0}{V_0} \right)^2$$

K est une constante qui relie le volume de la cellule vers un volume préférable V_0 . Dans la suite, nous allons considérer que le module de compression Λ est très grand et donc que $V = V_0$. Les tensions $\gamma_L, \gamma_B, \gamma_A$ ont une composante due à la couche caténale d'actomyosine qui est positive et pour γ_L et γ_B une composante négative due à l'adhésion entre cellules pour γ_L et avec la membrane basale pour γ_B . Elles peuvent en principe être négatives. En particulier si l'adhésion est très forte $\gamma_B < 0$ mais la surface basale reste plane parce que la membrane basale est très rigide. La tension γ_L pour une cellule est la moitié de la tension de la surface latérale entre 2 cellules.

P est le périmètre et A la tension du cable d'adhérence d'une cellule. Nous ignorons ici la variation de la tension avec la forme de la cellule (P ou A).

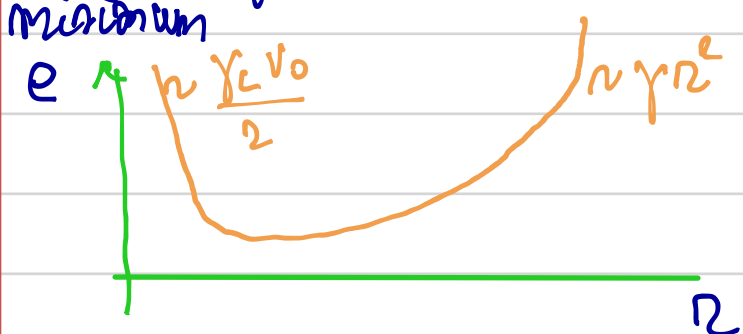
Nous discutons tout d'abord le équilibre de force sur les surfaces




 $A_a = A \frac{1}{2}(\theta_a)$. La surface apicale doit faire un angle θ_a sur son bord qui est en hexagone et avoir une courbure constante c'est une surface conique mais son aire s'écrira $A_a = A \frac{1}{2}(\theta_a)$ et si $\theta_a = \frac{\pi}{2}$ soit si γ_L est petit $A_a = A$ on a toujours $A < A_a < \frac{3\sqrt{3}}{2}A$. De même le volume $\Delta V = A^{3/2} g(\theta_a)$. Pour que la discussion reste simple nous allons ignorer ces effets et supposer que la surface apicale est plane $A_a = A$ et $\Delta V \propto$. C'est vrai si $\theta_a = \frac{\pi}{2}$ et cela a l'air vrai dans la plupart des expériences.

Théorème de N. Hamant. On a donc $h = \frac{V_0}{A}$

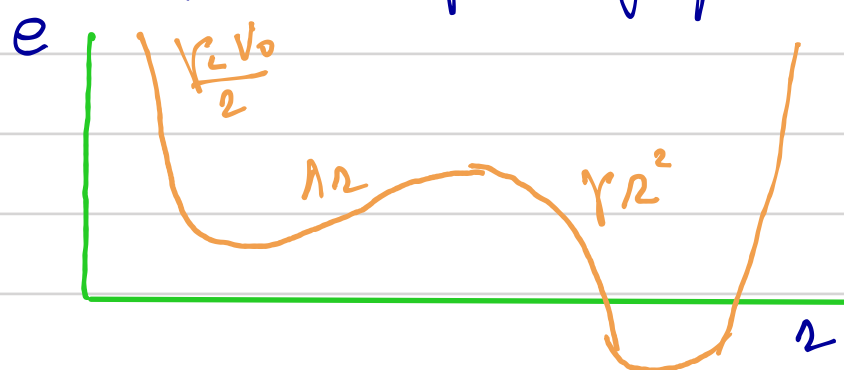
On définit la tension γ qui regroupe les tensions basales et apicales $\gamma = \gamma_B + \gamma_a$ et dans la suite je vais utiliser les coefficients numériques $e = \gamma R^2 + \lambda R + \gamma_L \frac{V_0}{2}$. Si γ est positif il y a un minimum



$$\text{Si } \lambda \text{ est grand } R = \left(\frac{V_0 \gamma_L}{\lambda} \right)^{1/2} \text{ et } h = \left(\frac{\lambda}{\gamma_L} \right)$$

$$\text{Si } \lambda \text{ est petit } R = \left(\frac{\gamma_L V_0}{2 \gamma} \right)^{1/3}$$

R augmente si γ et λ diminuent et si γ_L augmente on passe de cellules très allongées (columnaires) à des cellules très plates (planocytaires) (sauf au dessus). Si γ est négatif l'énergie peut être non-monotone



Le minimum absolu est $R \rightarrow +\infty$. Mais la cellule ne peut pas s'étendre complètement parce qu'il faudrait compiner tout le matériel à l'infini.

Si on considère que ce que l'on comprend est surtout des polymères il faut ajouter un terme à l'énergie $e = \frac{\alpha}{R^2} \sim \frac{\alpha' R^4}{V_0^2}$. Ce qui crée un deuxième minimum. Il peut y avoir une transition disccontinue entre les minimums

En pratique on observe 3 types de cellules columnaires, planocytaires et cuboïdales. Diagrammes de γ_L dans l'article original.

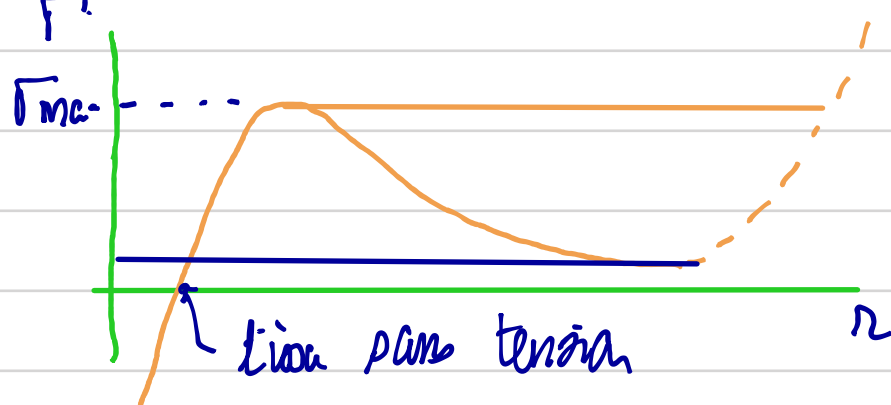
Rq En ajoutant la force supplémentaire, on peut écrire l'énergie d'une cellule $e = \gamma A + \frac{\alpha}{V_0} A^2 + (\Lambda + \gamma_L h) P$. Si Λ est plus grand que $\gamma_L h$ soit si l'on peut ignorer la tension latérale on retrouve bien le modèle de Weier à dimensions sans la terme $\frac{P^2}{V_0}$ qui décrit la variation de la tension avec P et que l'on pourrait aussi inclure.

2 - Tension sous tension

La tension due au tenser est l'opposé de la pression à l'dimensions

$$\Gamma = \frac{\partial e}{\partial A} = \frac{1}{2r} \frac{\partial e}{\partial r} = \gamma + \frac{\Lambda}{2r} - \frac{\gamma_L V_0}{2r^3}$$

A l'équilibre $\Gamma = 0$

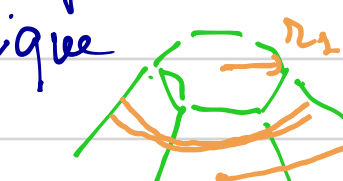


Rq : Soit $\Gamma > \Gamma_{max}$ le tenser sur installe et il n'y a plus de solutions $h \rightarrow 0$. Il faut alors rajouter la force de compression $e = \frac{\alpha \Gamma^4}{V_0^2}$ et il apparaît un plateau dans la relation $\Gamma(r)$.

Si il y a une transition discontinue ($\gamma < 0$) la tension transverse des cellules columnaires devient filamenteuses.

3 - Tenseur complié, cytos

Si $\Lambda = 0$ et si $\gamma_A = \gamma_B$ les surfaces apicale et basale sont équivalentes et la force d'une cellule est cylindrique. Si $\Lambda > 0$ et $\gamma_A - \gamma_B > 0$ la face apicale est plus contractée et la cellule a une forme conique



Rq Comme de la membrane basale

le rayon de la face basale r_2 est plus grand que le rayon de la face apicale. En empilant ces cellules coniques, on

crée une monocoque sphérique de cellules avec un biseau vers l'aval se touchant les surfaces adjacées (un côte).

On définit $R = \frac{R_1 + R_2}{2}$ qui est le rayon à une hauteur $\frac{h}{2}$ et on définit la courbure de la monocoque à cette position.

$$C = \frac{2(R_1 - R_2)}{h^2} . \text{ (courbure moyenne)}$$

En intégrant le volume on trouve $V_0 = \frac{h}{3}(R_1^2 + R_2^2 + R_1 R_2)$ et l'aire latérale est $A_L = h \frac{R_1 + R_2}{2}$.

On ignore ici dans quel cas un coefficient proportionnel qui est le même que celui que nous avons ignoré plus haut.

$$\text{L'énergie de la cellule est } E = \gamma_B R_2^2 + \gamma_A R_1^2 + \lambda R_2 + \frac{3 \cdot \gamma_L V_0 (R_1 + R_2)}{R_1^2 + R_2^2 + R_1 R_2}$$

Si $\lambda \rightarrow 0$ et $\gamma_A - \gamma_B = 0$, $R_1 = R_2$ et on retrouve le résultat obtenu avant $R = \left(\frac{\gamma_L V_0}{2\gamma}\right)^{1/3}$. Nous allons maintenant supposer que $R_2 = R(1+\varepsilon)$

et $R_1 = (1-\varepsilon)R$ soit que la courbure est faible. On développe au deuxième ordre sur ε

$$E = \gamma R^2 + \lambda R + \frac{\gamma_L V_0}{R} - \gamma \varepsilon [\lambda + 2(\gamma_A - \gamma_B)R] + \varepsilon^2 R^2 \left[\gamma - \frac{\gamma_L V_0}{3R^3} \right]$$

$$\text{La minimisation par rapport à } \varepsilon \text{ donne } \varepsilon = \frac{3}{2} \frac{2(\gamma_A - \gamma_B) + \lambda/R}{\gamma}$$

$$\text{Ce qui donne en fin de compte } C = \frac{4\varepsilon}{h} = \frac{6(\gamma_A - \gamma_B) + \lambda/R}{\gamma h}$$

C'est bien petit devant 1 donc le rayon d'un côté est bien plus grand que la hauteur des cellules si $\frac{\gamma_A - \gamma_B}{\gamma} \text{ et } \frac{\lambda}{2\gamma} \ll 1$

On peut aussi discuter le cas où le rayon R_1 est très petit et $\eta = \frac{R_1}{R_2} \gg 1$. Pour simplifier on se place dans le cas où $\lambda \rightarrow 0$ et on développe l'énergie aux puissances de η

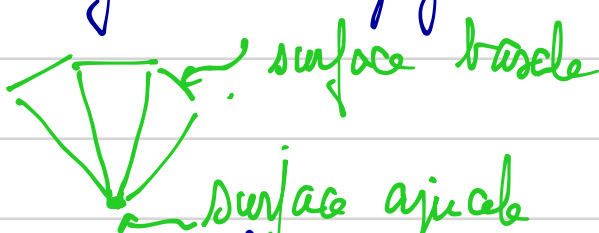
$$E = \gamma_A R_2^2 \eta^2 + \gamma_B R_2^2 + \frac{3\gamma_L V_0}{2R_2} \frac{1+\eta}{1+\eta+\eta^2}$$

$$\text{Soit } E = \gamma_A R_2 \eta^2 + \gamma_B R_2^2 + \frac{3\gamma_L V_0}{2R_2} (1 - \eta^2 + \eta^3)$$

En minimisant par rapport à R_2 $R_2 = \left(\frac{3\gamma_L V_0}{4\gamma_B} \right)^{\frac{1}{2}}$. En minimisant par rapport à η

$$2\eta [\gamma_A - 2\gamma_B] R_2^2 + 6\eta^2 \gamma_B R_2^2 = 0$$

On trouve $\eta = 0$ soit $R_2 = 0$ où $\gamma_A = 2\gamma_B$ mais on a fait des approximations en peu obâtuees quand $R_2 \rightarrow 0$ (cellule très courbée). A cette valeur on forme un agrégat compact de cellules



Il faudrait aussi s'inquiéter

de la bulle de la membrane basale. Cela est fait dans l'article original de Hanano et al.

4. Apparition de cystes dans une couche épithéliale
des carcinomes ont des concres des tissus épithéliaux. Ils représentent 80% des cancers. Dans de nombreux carcinomes, des cystes sont extrudés du tissu épithelial et l'on considère que ces cystes contribuent à la formation de métastases.



Pour étudier la formation de ces cystes l'équipe

de A.M. Claren utilise le disque imaginal de l'aile de la drosophile en induisant la formation de cystes. Le disque imaginal de l'aile de la drosophile est une couche épithéliale qui se régénère sur elle-même, avec d'un côté la membrane périodotale faîtière de cellules plates (piquantineuses) et de l'autre des cellules étagées (colonnaires). Nous nous intéressons aux cellules colonnaire de la face (joue).

Les cystes sont induits par des protéines "Polycomb" qui éteignent certains facteurs de transcription associés au destin de la cellule et qui

diminuent la prolifération cellulaire. L'article de Bielongfei et al. montre que la formation de cytos est une réponse générale à la présence de cellules au destin mal spécifié et qu'elles sont induites par une différence de destins de cellules voisines. Il y a accumulation de cytos au niveau d'autocyclette. à l'interface entre cellules de destins différents. L'article montre que les cytos se produisent à la fois pour des cellules mutantes entourées de cellules sauvages et pour des cellules sauvages entourées de cellules mutantes (cytes inverses).

La thèse de Sylvain Alt à Düsseldorf avec G. Salbreux a étudié la première étape de la formation de cytos en utilisant un modèle de vertex à 3 dimensions très semblable à celui que j'ai décrit. L'enjeu était de comprendre si la formation de cytos est en effet autonome du fait que certaines cellules sont mutées ou en effet non-autonome collectif du à une interface entre cellules mal spécifiées et cellules sauvages. Les expériences montrent que les petits clôtures (aggrégats de cellules mal spécifiées) ne forment pas de cytos et que les cellules individuelles sont extrudées. Les très grands clôtures ne font pas non plus de cytos. Les cytos se produisent, que pour les tailles intermédiaires.

Le modèle de vertex à 3 dimensions est très semblable à celui que je vais de présenter. On utilise γ_L comme unité de tension et les valeurs $\gamma_2 = 7$ et $\gamma_L = 3$, $A = \gamma_L^2 \times 0,18$. Les auteurs ajoutent aussi des ressorts à chaque vertex qui lient les cellules à la matrice extracellulaire par la surface basale. Ils ajoutent aussi une tension à la base. Les tensions de surface dépendent de l'aire de la cellule. La configuration initiale du tissu est aléatoire dans le plan et l'énergie est relaxée vers un minimum local (meilleur quasimat).

La simulation compare 2 scénarios : soit une augmentation de la tension latérale de toutes les cellules mal spécifiées soit une augmentation de la tension latérale entre cellules mal spécifiées et sauvage ($\gamma_L^c = 3$). Seul le deuxième scénario permet la formation de cytos. Les résultats sont comparés quantitativement aux expériences.

Rq Dans la simulation l'épithélium est composé avec une tension Γ

négative. A l'interface entre les 2 types de cellules, il ya une tension de
ligne $\tilde{\gamma} = (\gamma_L^c - \gamma_L)$ h où γ_L est positif (une tension négative) $\Delta T = \frac{(\gamma_L^c - \gamma_L)}{R}$
qui fait flamber le monocouche. Cette tension est faible pour les grands R
d'où qui ne flambe pas . \Rightarrow 

- (1) Si $\bar{\lambda}_S < \bar{\lambda} < \bar{\lambda}_G$ l'état fondamental est constitué d'hexagones inégaux pour que $\langle n \rangle = 6$
- (2) Un rapport de tension L_5 n'explique pas quantitativement les résultats. Les auteurs disent que d'autres mécanismes doivent être en jeu.
- (3) Une cellule cristalle échange nevoisine par des processus T_1

Bibliographie

- F. Gruber and J.-A Glazier Phys. Rev. Letters 69, 2013, (1992)
- D. Stavko et al. EPL E 33, 117 (2010)
- C. Barat et al. Nature 429, 667 (2004)
- R. Farhadifar et al Current Biology 17, 2095, (2015)
- K. Landelberg Current Biology 19, 1950 (2009)
- T. Aegeaner-Wilsonen Development 137, 499 (2010)
- D. Weaire, S. Hutzler "The Physics of foams" 2001
- R. Farhadifar et al Current Biology, 17, 2095 (2007)
- K Landelberg et al Current biology, 19, 1950 (2009)
- T. Aegeaner Wilsonen Development 137, 499, (2010)
- E. Hannezo et al. PNAS 111, 27, (2014)
- C. Bidanezyn et al. Current Biology 26, 1, (2016)